

楕円曲面および高種数ファイバー構造を持つ複素代数曲面の特異ファイバーの分類について

山下 雄大

東京理科大学大学院理工学研究科数学専攻 伊藤研究室

2021/2/10

研究目的

任意種数のファイブレーション構造を持つ複素代数曲面の特異ファイバーの因子としての形, そこから決まる双対グラフ, および付随する格子構造などについて考察する.

再掲

定義 (ファイブレーション)

コンパクト非特異射影代数曲面を S とする. S からコンパクト非特異射影代数曲線 C への全射正則写像をファイブレーションと呼ぶ. S にファイブレーションが定義されるとき, S はファイバー構造 $f: S \rightarrow C$ をもつという.

点 $Q \in C$ の引き戻し $f^{-1}(Q)$ を, **ファイバー** と呼ぶ.

任意の $Q \in C$ に対し, $f^{-1}(Q)$ が代数曲線であり, S の生成ファイバーが代数曲線 C 上の関数体 K 上の曲線 C/K と同型であるファイブレーション $f: S \rightarrow C$ を定義する.

ファイバーが非特異な代数曲線でないとき, **特異ファイバー** と呼ぶ.

まず, ある複素代数曲面で有限個のファイバーを除いて, 連続に変形する種数 g の超楕円曲線から成る曲面を考える.

体 K 上で K 有理点と生成ファイバーが次数 2 の被覆写像を持ち, 種数が g である代数曲線の組である代数多様体を考える.

1 例としては, 複素数 \mathbf{C} 上で \mathbf{P}^1 の非同次座標 x を上手くとれば

$$y^2 = x^{2g+1} + ax + b \quad (a, b \in \mathbf{C})$$

で表される.

定義 (局所交点数)

複素数体 \mathbf{C} における非特異な射影代数曲面 S 上の相異なる既約曲線 C, C' に対し, 点 P 上の局所方程式を各々 f, g とし, 局所交点数を以下のよう

$$(C, C')_P := \dim_k \mathcal{O}_{S,P} / (f, g)$$

注: $(C, C')_P$ を CC'_P と書くこともある. $\mathcal{O}_{S,P}$ は *stalk* と呼ばれる. *stalk* は \mathcal{O}_P とし, P の近くの X 上の正則関数の *germ* のなす集合と定義する.

定義 (交点数)

大域的には, 交点数とは以下の通りに定義される.
相異なる既約曲線 C, C' に対し,

$$(C, C') := \sum_P (C, C')_P \text{ (有限和)}$$

CC' のように書くこともある.

$C = C'$ のときの交点数を自己交点数と呼ぶ.

定義

X が代数曲面, P を X の点, U を P の座標近傍, (x, y) を P を中心とする U 上の局所座標であるとする.

特異点 P の開近傍 U に対して

このとき \mathbf{P}^1 の同次座標 (ζ_0, ζ_1) として $U \times \mathbf{P}^1$ の部分多様体

$$\tilde{U} := \{(x, y) \times (\zeta_0, \zeta_1) \mid x\zeta_1 - \zeta_0y = 0\}$$

を考え

$$\pi : \tilde{U} \rightarrow U ; (x, y) \times (\zeta_0, \zeta_1) \mapsto (x, y)$$

とすれば, これが P を中心とする *blow-up* である.

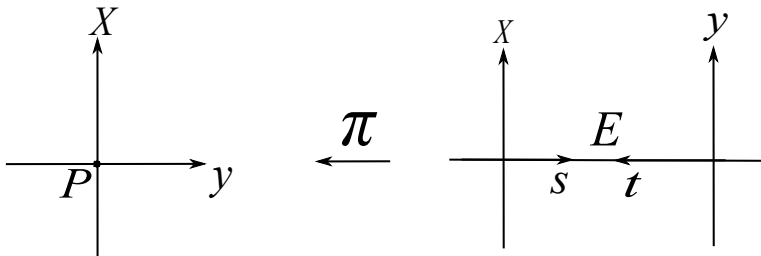
\mathbf{P}^1 が 2 つの開集合 $\{\zeta_0 \neq 0\}$, $\{\zeta_1 \neq 0\}$ で覆われることに対応して \tilde{U} は 2 つの開集合 V_0, V_1 で覆われる. $s = \zeta_1/\zeta_0, t = \zeta_0/\zeta_1$ とすれば

$$V_0 = \{(x, y, s) \in U \times \mathbf{C} \mid xs - y = 0\}$$

$$V_1 = \{(x, y, t) \in U \times \mathbf{C} \mid x - yt = 0\}$$

V_0 の $s \neq 0, V_1$ の $t \neq 0$ で $y - xs = 0, st = 1$ で変換しあう.
 $X - U$ には恒等変換をするように写像を設定しなおして代数曲面 X に以下の通り, **blow-up** を拡張する.

$$\pi : \tilde{X} \rightarrow X$$



定義

因子が非特異有理曲線であって, 自己交点数が -1 の因子を第一種例外因子 (第一種例外曲線) と定義する.

定義 (相対的極小モデル)

相対的極小モデル (*relatively minimal model*) とはコンパクト非特異射影代数曲面 S , コンパクト非特異射影代数曲線 C , ファイブレーション $S \rightarrow C$ で既約ファイバーが第一種例外因子を含まない複素代数曲面のことである.

非特異射影代数曲面を S とする. また非特異射影代数曲線を C とする. 曲面にファイバー構造 $f: S \rightarrow C$ が定義されるとき, 更に相対的極小が仮定されているとする.

仮定

曲面 S において, 少なくとも特異ファイバーが1つ存在すると仮定する.

点 $Q \in C$ のファイバー $f^{-1}(Q)$ が特異ファイバーとし, 点 Q の近傍を考える.

1 例として近傍での局所方程式が $y^2 = x^5 + t^a$ となる曲面を考える.

定理

$y^2 = x^5 + t^a$ は以下の様に, 不変量によって分類できる

不変量	2	3	4	5	6	7	8	9
行列式	5	1	5	16	5	-1	5	1
既約因子の数	4	8	2	6	10	3	8	12

$$\Gamma = \{(x, t) \in \mathbf{P}^1 \times \Delta \mid t = 0\}$$

ある自然数 a を用いて

$$0 = x^5 + t^a$$

で表される因子を B , $x = \infty$ で表せる因子を Δ_∞ と記す. 分岐集合を

$$B \cup \Delta_\infty$$

と表示できる.

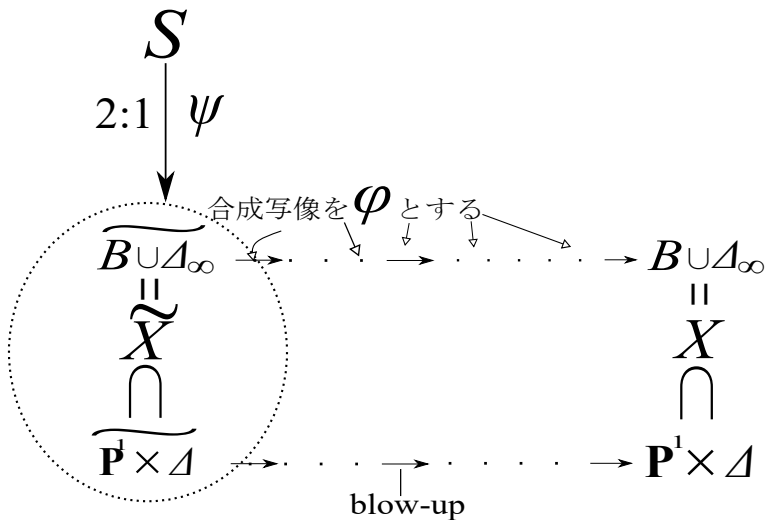
blow-up の逆像を \tilde{B} や \tilde{E}_1 のように表示する.

次数 2 の被覆写像を $\psi : S \rightarrow \mathbf{P}^1 \times \Delta$ とし, 特異点解消を

$\varphi : \mathbf{P}^1 \times \Delta \rightarrow \mathbf{P}^1 \times \Delta$ とする.

合成写像 $\psi \circ \varphi$ による Γ の逆像を考えれば既約因子表示が定まる.

アフィン 1 次元空間 \mathbf{A}^1 の原点の開近傍をとる. $\mathbf{P}^1 - \mathbf{A}^1 = \{\infty\}$ とし, 点 ∞ に当たる点の開近傍, 座標近傍と局所座標をとる. この 2 つの開集合上で, 固有変換を分析する必要がある.



$$y^2 = x^5 + t^9$$

$y = 0$ とし

$$0 = x^5 + t^9$$

の分岐集合を考える. 1 回 blow-up したあと,

$$\uparrow \begin{cases} x = XT \\ t = T \end{cases}$$

$$0 = T^5(X^5 + T^4)$$

$y^2 = y'^2 T^4$ とすれば, 結局 $0 = T(X^5 + T^4)$ を考えればいいことになる.

$$\uparrow \begin{cases} x = X' \\ t = X'T' \end{cases}$$

$$0 = X'^5 + X'^9 T'^9$$

$$\Leftrightarrow 0 = X'^5(1 + X'^4 T'^9)$$

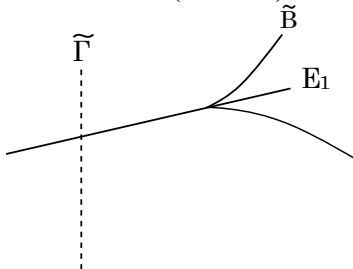
$(X', T') = (0, 0)$ は \tilde{B} を通らない.

Γ は blow-up によって $\tilde{\Gamma}$ に変換され, 新たな因子として例外因子 E_1 が導出する. E_1 の局所方程式は各開集合上
 $T = 0, X' = 0$ で代表される.

1 回目の blow-up 後

$$0 = X'^5(1 + X'^4T^9)$$

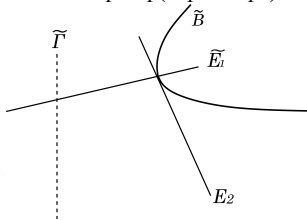
$$0 = T^5(X^5 + T^4)$$



(先掲)2 回目の blow-up 後

$$0 = X_1T_1(X_1^5 + X_1^4T_1^4)$$

$$0 = X_1^5T_1(X_1 + T_1^4)$$



$$0 = T(X^5 + T^4)$$

$$\uparrow \begin{cases} X = X_1 \\ T = X_1 T_1 \end{cases}$$

$$0 = X_1 T_1 (X^5 + X_1^4 T_1^4)$$

$$0 = X_1^5 T_1 (X_1 + T_1^4)$$

$$\tilde{\Gamma} + \tilde{E}_1 + E_2$$

$\tilde{\Gamma}$ の blow-up の逆像として, $\tilde{\Gamma}, E_1$ から \tilde{E}_1, E_2 が導出する.

$$0 = X_1 T_1 (X_1^5 + T_1^4)$$

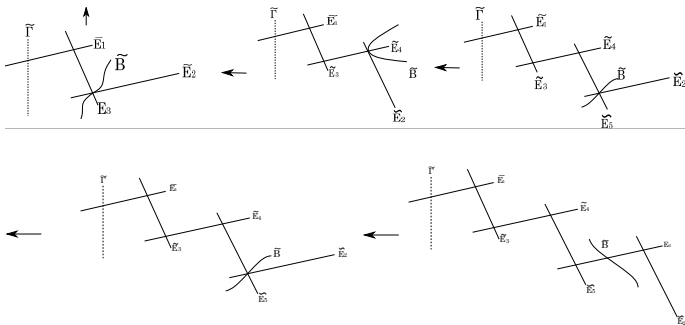
$$\uparrow \begin{cases} X_1 = XT \\ T_1 = T \end{cases}$$

$$0 = XT^2(XT + T^4)$$

$$0 = XT^3(X + T^3)$$

$$\tilde{\Gamma} + \tilde{E}_1 + \tilde{E}_2 + 2E_3$$

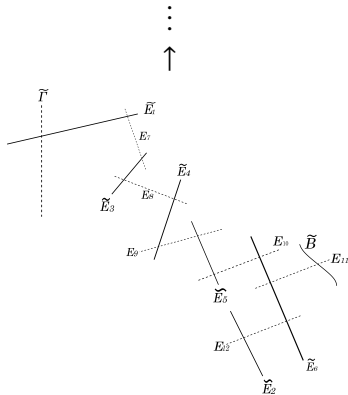
$\tilde{\Gamma}$ の blow-up の逆像として, $\tilde{\Gamma}, \tilde{E}_1$ から \tilde{E}_1, E_3, E_2 から \tilde{E}_2, E_3 が導出する.
 このように残りの方の開集合の様子を含め, 帰納的に推論できる.
 以降, 図でもって説明をする.



$\tilde{\Gamma} + \tilde{E}_1 + \tilde{E}_2 + 2E_3$
 前スライドの右下の図の因子は

$$\tilde{\Gamma} + \tilde{E}_1 + \tilde{E}_2 + 2\tilde{E}_3 + 3\tilde{E}_4 + 4\tilde{E}_5 + 5E_6$$

全て解消した後



$$\tilde{\Gamma} + \tilde{E}_1 + \tilde{E}_2 + 2\tilde{E}_3 + 3\tilde{E}_4 + 4\tilde{E}_5 + 5\tilde{E}_6 + 3E_7 + 5E_8 + 8E_9 + 9E_{10} + 4E_{11} + 5E_{12}$$

E_7 は \tilde{E}_1 と \tilde{E}_3 , E_8 は \tilde{E}_3 と \tilde{E}_4 , E_9 は \tilde{E}_4 と \tilde{E}_6 ,
 E_{10} は \tilde{E}_6 と \tilde{E}_5 , E_{11} は \tilde{E}_5 , E_{12} は \tilde{E}_5 と \tilde{E}_2 から導出する.
 被覆側 (「上」側) では,

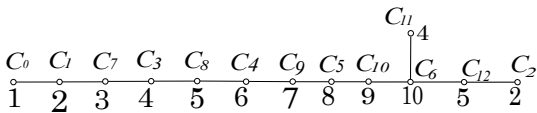
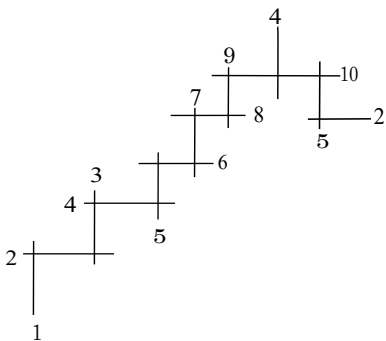
$$C_0 + 2C_1 + 2C_2 + 4C_3 + 6C_4 + 8C_5 + 10C_6 + 3C_7 + 5C_8 + 8C_9 + 9C_{10} + 4C_{11} + 5C_{12}$$

E_i の被覆, 「上」にある因子は1つずつで C_i とすると, 破線部分は全て -2 , C_2 は,

$(2C_2)^2 = 2(-1 - 1 - 1 - 1 - 1 - 1) \Leftrightarrow C_2^2 = -3$ である. 残りは, 全て $C_i^2 = -2$, ($i = 0, 1, 3, 4, 5, 6$) 例えば, E_6 は導出時の1回の blow-up, 3回の横断的に交わっている部分の blow-up,

$(10C_7)^2 = 2(-25 - 25 - 25 - 25) \Leftrightarrow C_7^2 = -2$
 グラム行列の行列式 (det) は 1

$$\begin{pmatrix} C_1C_1 & C_1C_2 & & \cdots & \cdots & \cdots \\ & \vdots & \vdots & \vdots & C_iC_j & \vdots & \vdots \\ & \vdots & \vdots & \ddots & \ddots & \ddots & \ddots \end{pmatrix}$$

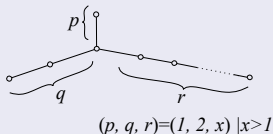


定理

種数 g に対して,

$$y^2 = x^{2g+1} + t^{2(2g+1)-1}$$

のグラム行列の行列式は1で双対グラフは以下の通りである.



(簡易な説明) 一度 blow-up すると

$$\uparrow \begin{cases} x = XT \\ t = T \end{cases}$$

$$0 = X^{2g+1}T^{2g+1} + T^{2(2g+1)-1}$$

$$0 = T^{2g+1}(X^{2g+1} + T^{2g})$$

もう一度 blow-up すると

$$0 = T^{2g+1}(X^{2g+1} + T^{2g})$$

$$\uparrow \begin{cases} X = X \\ T = XT \end{cases}$$

$$0 = XT(X^{2g+1} + X^{2g}T^{2g})$$

$$0 = X^{2g+1}T(X + T^{2g})$$

$$0 = XT(X + T^{2g})$$

$$\uparrow \begin{cases} X = XT \\ T = T \end{cases}$$

より,

$$0 = XT(X + T^{2g-1})$$

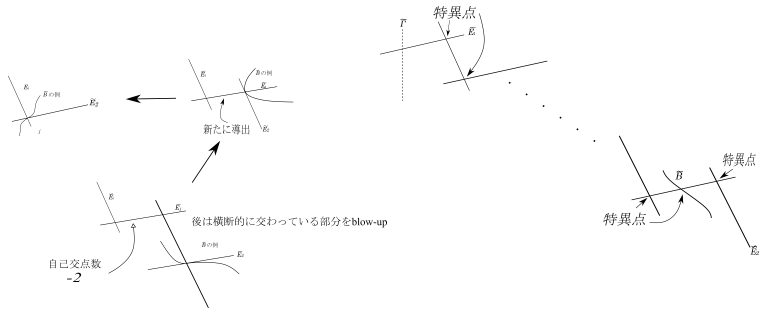
帰納的に,

$$0 = XT(X + T)$$

となる.

ここまでで注意しなければならない因子は, 2 回目の **blow-up** で導出した E_2 , もしくは \tilde{E}_2 であり, しばらく \tilde{B} に図形的にいて「くっついて」変換されることが代数的演算で確かめられている. 感覚的に言って 3 回目の **blow-up** での \tilde{B} は \tilde{E}_1 から離れる.

横断的に交わっている特異点は, **blow-up** の数は $2g + 2$ 個で $\tilde{\Gamma}$ と交差しているところは破線と交差しているところだから 1 引く, ただ \tilde{B} と横断的に交差しているところも **blow-up** するのだから 1 足して結局 $2g + 2$ 個の破線, つまり 例外曲線が新たに **blow-up** で導出する.

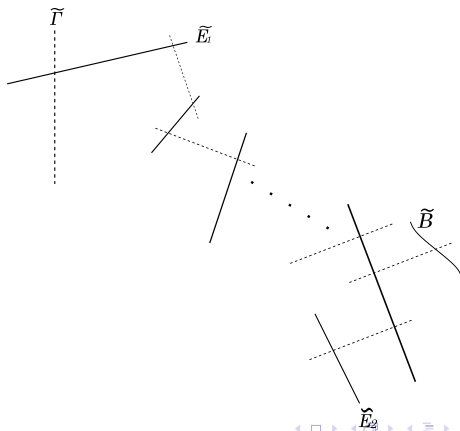


実線の有理曲線に相当するのは blow-up の回数に対応し
 $2g + 2$ 個

総計 $4g + 4$ 本の有理曲線が導出する.

自己交点数は破線部分は全て -2 である.

C_2 に相当するもの以外の実線の被覆のファイバーの自己
 交点数は, -2 である.



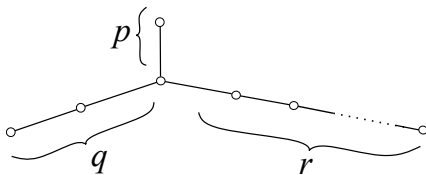
C_2 に相当するものは, $(2C_2)^2 = 2(-1 - 2g - 1) \Leftrightarrow (C_2)^2 = -g - 1$

これは前章や前節の $g = 1$ や $g = 2$ の場合と合致する.

a が $2(2g + 1) - 1$ に相当する行列の行列式は, 1 でユニモジュラー行列となる.

これを証明するには多少の手間がかかる. まずグラム行列のサイズは, $4g + 4$ である.

A_r 型のグラム行列の求め方と似ている.



$$(p, q, r) = (1, 2, x) \mid x > 1$$

双対グラフから適当に既約因子に順序付けをする.
 そして以下の様にグラム行列を表示できる.

$$\begin{pmatrix} -2 & 0 & 0 & 1 & & & & & & & \\ 0 & -g-1 & 1 & 0 & & & & & & & \\ 0 & 1 & -2 & 1 & & & & & & & \\ 1 & 0 & 1 & -2 & 1 & 0 & & & & & \\ \vdots & \vdots & \vdots & 1 & -2 & 1 & \vdots & \vdots & & & \\ \vdots & \vdots & \vdots & \vdots & \vdots & \vdots & \vdots & \vdots & \vdots & \vdots & \\ \vdots & \vdots & \ddots & \ddots & \ddots & \ddots & 1 & -2 & 1 & 0 & 0 \\ \vdots & & & \ddots & \ddots & \ddots & \ddots & 1 & -2 & 1 & 0 \\ & & & & \ddots & \ddots & \ddots & & 1 & -2 & 1 \\ & & 0 & & & & & & \dots & 1 & -2 \end{pmatrix}$$

次の様にブロック分けをする.

$$\begin{pmatrix} \boxed{\begin{matrix} -2 & 0 & 0 & 1 \\ 0 & -g-1 & 1 & 0 \\ 0 & 1 & -2 & 1 \\ 1 & 0 & 1 & -2 \end{matrix}} & \begin{matrix} 1 & 0 \\ \vdots & \vdots \\ \vdots & \vdots \\ \vdots & \vdots \\ \vdots & \vdots \end{matrix} & \begin{matrix} 0 \\ \vdots & \vdots \\ \vdots & \vdots \\ \vdots & \vdots \\ \vdots & \vdots \end{matrix} \\ \begin{matrix} \vdots & \vdots & \vdots & 1 & -2 & 1 & \vdots & \vdots \\ \vdots & \vdots & \vdots & \vdots & \vdots & \vdots & \vdots & \vdots & \vdots & \vdots \\ \vdots & \vdots & \ddots & \ddots & \ddots & \ddots & 1 & -2 & 1 & 0 & 0 \\ \vdots & & & \ddots & \ddots & \ddots & \ddots & 1 & -2 & 1 & 0 \\ & & & \ddots & \ddots & \ddots & \ddots & & 1 & -2 & 1 \\ & & 0 & & & & & & \dots & 1 & -2 \end{matrix} \end{pmatrix}$$

左上のブロック以外で下三角行列に変形する.

すると右下隅から上 1 行左 1 列分上の成分は $-\frac{3}{2}$, もう上 1 行左 1 列分上の成分は $-\frac{4}{3}$, これを続けていくと対角成分が右下から 1 番目, 2 番目, ... と番号付けをすると $4g + 1$ 番目で

$$-\left(\frac{4g + 2}{4g + 1}\right)$$

と変形できる.

さらに最初の行列は右下の隅から余因子展開をする. もちろん右下のブロック部分は1列中1つの成分以外0だから計算は楽である.
 ここまで変形してしまえば, 元々の行列の対角成分の一部の積は,

$$\left(-\frac{2}{1}\right)\left(-\frac{3}{2}\right)\cdots\left(-\frac{4g+1}{4g}\right) = 4g+1$$

因数(項)の数は $4g$ 個より, 値は正.

$$\begin{pmatrix} -2 & 0 & 0 & 1 \\ 0 & -g-1 & 1 & 0 \\ 0 & 1 & -2 & 1 \\ 1 & 0 & 1 & -\frac{4g+3}{2(4g+1)} \end{pmatrix}$$

計算すると行列式は1

今後の展望

より一般的で, ファイバー構造を持つ複素代数曲面, の特異ファイバーの因子を分析する. 上で得られた因子のグラム行列や双対グラフを分析する.

参考文献

- ① Robin Hartshorne, "Algebraic Geometry", GTM, vol.52, Springer, New York-Heidelberg, 1977
- ② 堀川 穎二, "複素代数幾何学入門", 岩波書店, 2015
- ③ Kunihiro Kodaira, "On Compact Analytic Surfaces:II", Ann.of Math.77, 563-624, 1963
- ④ Yukihiro Namikawa, Kenji Ueno, "The complete classification of fibres in pencils of curves of genus two", Manuscripta.Math.9, 143-186, 1973
- ⑤ Matthias Schütt, Tetsuji Shioda: "Mordell-Weil Lattices", Ergebnisse der Mathematik und ihrer Grenzgebiete, 3.Folge, Springer, 2019
- ⑥ 山本芳彦, "数論入門", 岩波書店, 1996